

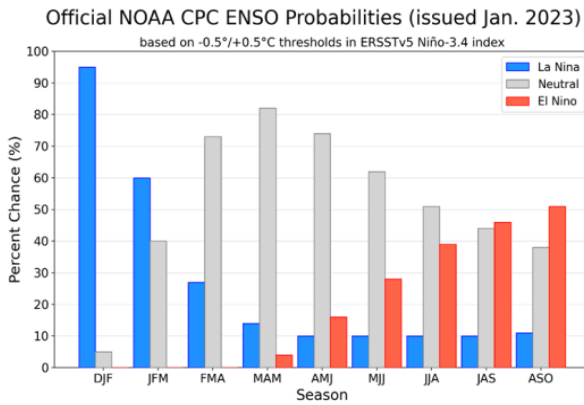


กระทรวงดิจิทัลเพื่อเศรษฐกิจและสังคม
กรมอุตุนิยมวิทยา

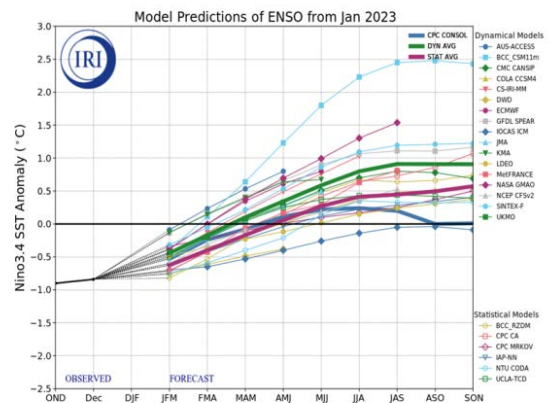
การติดตามและการคาดการณ์ปรากฏการณ์
ที่ส่งผลกระทบต่อลักษณะอากาศ
เดือน กุมภาพันธ์ ถึง เมษายน พ.ศ.2566
ออกประกาศ 30 มกราคม พ.ศ.2566

1. ปรากฏการณ์ El Nino Southern Oscillation (ENSO)

ขณะนี้ปรากฏการณ์เอนโซอยู่ในสภาวะลานีญา (Nino 3.4= -0.9) จากแบบจำลองการพยากรณ์ ENSO index ของศูนย์ต่างๆ ทั่วโลก การพยากรณ์ความน่าจะเป็นของสถานการณ์ ENSO และการพยากรณ์อุณหภูมิผิวน้ำทะเลบริเวณมหาสมุทรแปซิฟิกเขตศูนย์สูตรที่มีค่าต่ำกว่าค่าเฉลี่ยตั้งแต่เดือนกรกฎาคม 2563 จนถึงต้นเดือนธันวาคม 2565 ประกอบกับเมื่อวิเคราะห์ข้อมูลด้วยวิธีการทางสถิติและแบบจำลอง แล้ว คาดว่า ปรากฏการณ์เอนโซจะอยู่ในสภาวะลานีญาต่อเนื่องไปถึงช่วงเดือนมกราคมถึงเดือนมีนาคม 2566 จากนั้นมีแนวโน้มที่จะเข้าสู่สภาวะปกติต่อไป



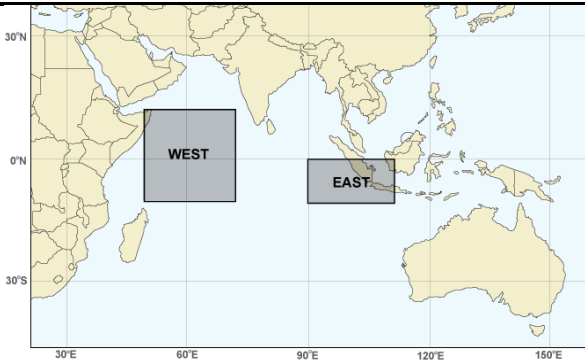
รูปที่ 1 ผลการพยากรณ์ความน่าจะเป็นของปรากฏการณ์ ENSO จากแบบจำลองของศูนย์ IRI/CPC



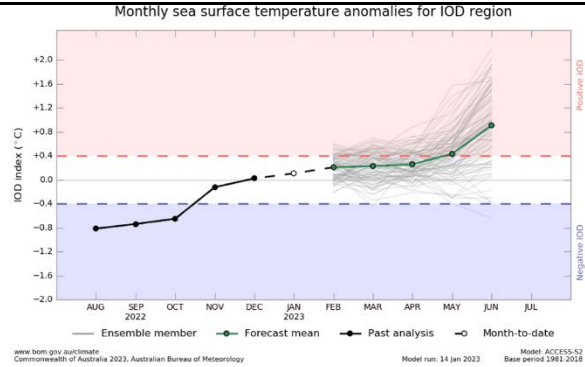
รูปที่ 2 แบบจำลองเฉลี่ยผลการพยากรณ์ค่าผิดปกติของอุณหภูมิผิวน้ำทะเลบริเวณ Nino 3.4 จากศูนย์ภูมิอากาศทั่วโลกรวบรวมโดยศูนย์ IRI/CPC

2. ปรากฏการณ์ Indian Ocean Dipole (IOD)

ปรากฏการณ์ IOD หรือดัชนีวัดค่าความผิดปกติของอุณหภูมิผิวน้ำทะเล อันเนื่องมาจากการอุ่นขึ้นหรือเย็นตัวอย่างผิดปกติของอุณหภูมิผิวน้ำทะเลบริเวณตอนใต้ด้านตะวันออกของมหาสมุทรอินเดียบริเวณเขตศูนย์สูตร (EAST) กับอุณหภูมิผิวน้ำทะเลบริเวณด้านตะวันตกของมหาสมุทรอินเดียเขตศูนย์สูตร (WEST) ดังรูปที่ 3 เรียกว่าปรากฏการณ์ Indian Ocean Dipole จากแบบจำลองการพยากรณ์ IOD index การพยากรณ์ความน่าจะเป็นของสถานการณ์ IOD และการพยากรณ์อุณหภูมิผิวน้ำทะเลบริเวณมหาสมุทรอินเดีย ดังรูปที่ 4 พบว่า ช่วงเดือนที่ผ่านมาปรากฏการณ์ IOD มีสถานะปกติ (Neutral) โดยมีดัชนีชี้วัด +0.01°C และคาดว่าจะยังคงมีสถานะปกติ ตลอดช่วงเดือนกุมภาพันธ์ ถึง เมษายน 2566 ซึ่งจะไม่ส่งผลกระทบต่อปริมาณฝนบริเวณประเทศไทยในช่วง 3 เดือนนี้



รูปที่ 3 แผนที่บริเวณ Indian Ocean Dipole จากกรมอุตุนิยมวิทยาประเทศออสเตรเลีย

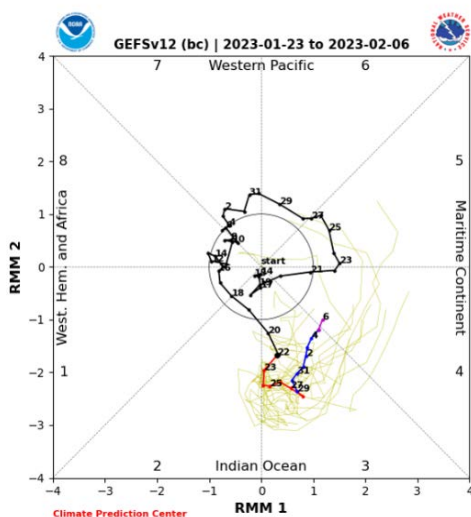


รูปที่ 4 ผลการพยากรณ์ IOD index จากแบบจำลองกรมอุตุนิยมวิทยาประเทศออสเตรเลีย

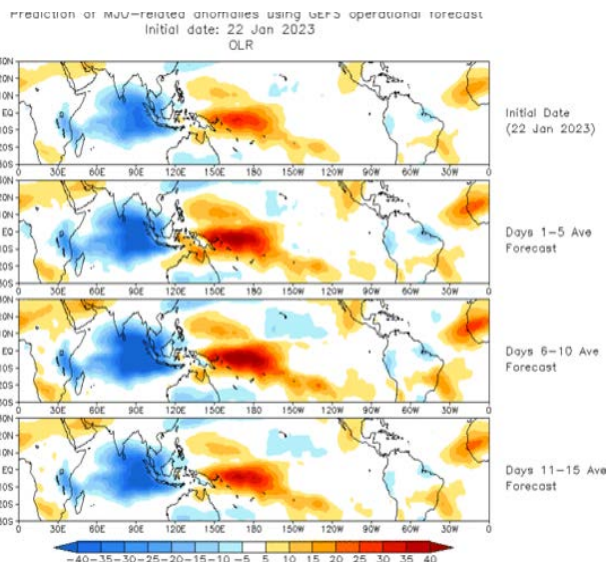
3. ปรากฏการณ์ Madden Julian Oscillation (MJO)

MJO เป็นปรากฏการณ์ขนาดใหญ่ที่เกิดควบคู่กันระหว่างการไหลเวียนของบรรยากาศกับการยกตัวของอากาศในเขตร้อนกินเวลาประมาณ 30-60 วัน โดยจะมีการเคลื่อนตัวทางตะวันออก ซึ่งจะสัมพันธ์กับการเกิดฝนที่ผิดปกติ โดยตั้งแต่ต้นเดือนมกราคมปรากฏการณ์ MJO มีกำลังอ่อนขณะเคลื่อนผ่านทวีปแอฟริกาเข้าสู่มหาสมุทรอินเดีย และได้มีกำลังแรงขึ้นขณะเคลื่อนเข้าสู่มหาสมุทรอินเดียด้านตะวันออก (Phase 3) ในช่วงสัปดาห์ที่ 4 ของเดือนมกราคม ซึ่งจากแบบจำลองการพยากรณ์ดัชนี MJO พบว่าในช่วงปลายเดือนมกราคมปรากฏการณ์ MJO จะเริ่มอ่อนกำลังลงเล็กน้อย และจะเคลื่อนเข้าสู่บริเวณ Maritime continent ในช่วงต้นเดือนกุมภาพันธ์ ดังรูปที่ 5 หลังจากนั้นจะเคลื่อนเข้าสู่มหาสมุทรแปซิฟิกเหนือด้านตะวันตกในช่วงกลางเดือนกุมภาพันธ์

ซึ่งภาพรวมของการพยากรณ์ค่า OLR ดังรูปที่ 6 คาดการณ์ว่าปรากฏการณ์ MJO จะส่งผลให้ภาคใต้ของประเทศไทยมีปริมาณฝนมากกว่าปกติเล็กน้อยในช่วงปลายเดือนมกราคมจนถึงต้นเดือนกุมภาพันธ์ หลังจากนั้นยังคงต้องเฝ้าติดตามปรากฏการณ์ MJO อย่างใกล้ชิดต่อไป



รูปที่ 5 กราฟแสดงการพยากรณ์ MJO Index และ MJO Phase จากศูนย์ภูมิอากาศทั่วโลก โดยแบบจำลองของศูนย์ IRI/CPC

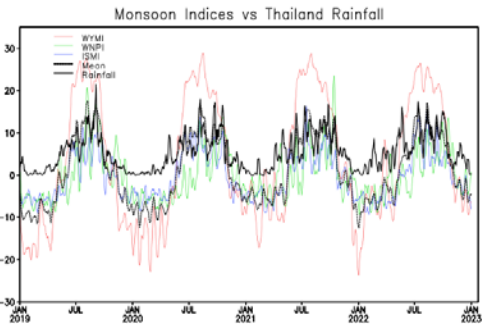


รูปที่ 6 แสดงการพยากรณ์ค่าการปลดปล่อยความร้อนจากพื้นโลก (OLR) เฉลี่ย 3 ช่วง ช่วงละ 5 วันโดยแบบจำลองของศูนย์ IRI/CPC

4. ลมมรสุม (Monsoon)

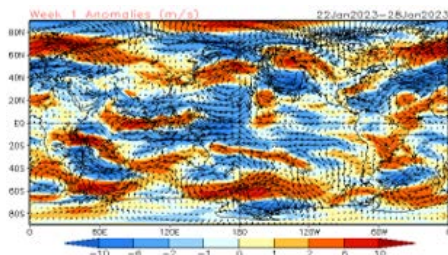
ลมมรสุม คือลมที่พัดตามฤดูกาล (ลมประจำฤดู) เป็นลมแนทิสและสม่ำเสมอ โดยประเทศไทยอยู่ภายใต้อิทธิพลของลมมรสุม 2 ชนิด คือ ลมมรสุมตะวันตกเฉียงใต้ (Southwest Monsoon) และลมมรสุมตะวันออกเฉียงเหนือ (Northeast Monsoon)

มรสุมตะวันตกเฉียงใต้ที่พัดปกคลุมประเทศไทย ระหว่างกลางเดือนพฤษภาคมถึงกลางเดือนตุลาคม มีแหล่งกำเนิดจากบริเวณความกดอากาศสูงในซีกโลกใต้บริเวณมหาสมุทรอินเดีย มรสุมนี้จะนำมวลอากาศชื้นจากมหาสมุทรอินเดียมาสู่ประเทศไทย ทำให้มีเมฆมากและฝนชุกทั่วไป โดยเฉพาะอย่างยิ่งตามบริเวณชายฝั่งทะเล และเทือกเขาด้านรับลมจะมีฝนมากกว่าบริเวณอื่น หลังจากหมดอิทธิพลของมรสุมตะวันตกเฉียงใต้แล้ว ประมาณกลางเดือนตุลาคมจะมีมรสุมตะวันออกเฉียงเหนือพัดปกคลุมประเทศไทย จนถึงกลางเดือนกุมภาพันธ์ มรสุมนี้มีแหล่งกำเนิดจากบริเวณความกดอากาศสูงบนซีกโลกเหนือ ประเทศมองโกเลียและจีน

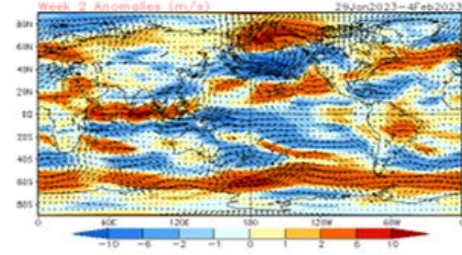


รูปที่ 7. ค่าดัชนีลมมรสุมต่างๆ และปริมาณฝนเฉลี่ยของประเทศไทย [http://www.cpc.ncep.noaa.gov/products/Global_Monsoons/Asian_Monsoons/Figures/Indexแหล่งอ้างอิงดัชนีลมมรสุม \(Monsoon indices\)](http://www.cpc.ncep.noaa.gov/products/Global_Monsoons/Asian_Monsoons/Figures/Indexแหล่งอ้างอิงดัชนีลมมรสุม (Monsoon indices))

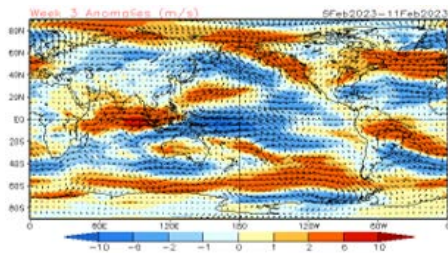
จากดัชนีลมมรสุม WYMI WNPI และ ISMI ในรูปที่ 7 ช่วงเดือนมกราคม 2566 ที่ผ่านมา พบว่าค่าเฉลี่ยดัชนีมรสุมแสดงให้เห็น ลมตะวันออกเฉียงเหนือมีกำลังแรงกว่าค่าปกติ และผลการคาดหมายลมที่ระดับ 850 hPa (1,500 เมตร) ช่วง 4 สัปดาห์ข้างหน้า มีดังนี้ สัปดาห์ที่ 1 (รูปที่ 8) มีลมตะวันออกเฉียงเหนือที่มีกำลังแรงกว่าค่าปกติพัดผ่านประเทศไทยตลอดทั้งประเทศ โดยสัปดาห์ที่ 2 (รูปที่ 9) มีลมตะวันออกเฉียงเหนือที่มีกำลังแรงกว่าค่าปกติพัดผ่านประเทศไทยตอนบน ส่วนภาคใต้มีลมตะวันตกเฉียงใต้ที่มีกำลังแรงกว่าค่าปกติพัดผ่าน ส่วนสัปดาห์ที่ 3 (รูปที่ 10) มีลมตะวันออกเฉียงเหนือที่มีกำลังแรงกว่าค่าปกติเล็กน้อยพัดผ่านประเทศไทยตอนบน ส่วนภาคใต้มีลมตะวันตกเฉียงเหนือที่มีกำลังแรงกว่าค่าปกติพัดผ่าน และสัปดาห์ที่ 4 (รูปที่ 11) มีลมตะวันออกเฉียงเหนือที่มีกำลังแรงกว่าค่าปกติเล็กน้อยพัดผ่านประเทศไทยตอนบน ส่วนภาคใต้มีลมตะวันตกเฉียงเหนือที่มีกำลังแรงกว่าค่าปกติเล็กน้อย ลักษณะดังกล่าวส่งผลให้เดือนกุมภาพันธ์ ประเทศไทยตอนบนมีปริมาณฝนใกล้เคียงค่าปกติ ส่วนทางภาคใต้มีฝนมากกว่าค่าปกติเล็กน้อย (เมื่อเปรียบเทียบกับค่าเฉลี่ยของช่วงเดียวกัน ในช่วงปี 2534-2563)



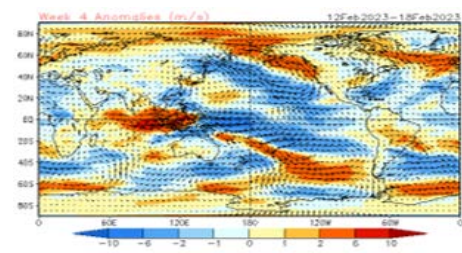
รูปที่ 8. ลมเฉลี่ยระดับ 850 hPa ต่างจากค่าปกติ สัปดาห์ที่ 1 วันที่ 22-28 ม.ค. 66



รูปที่ 9. ลมเฉลี่ยระดับ 850 hPa ต่างจากค่าปกติ สัปดาห์ที่ 2 วันที่ 29 ม.ค.-4 ก.พ. 66



รูปที่ 10. ลมเฉลี่ยระดับ 850 hPa ต่างจากค่าปกติ สัปดาห์ที่ 3 วันที่ 5-11 ก.พ. 66



รูปที่ 11. ลมเฉลี่ยระดับ 850 hPa ต่างจากค่าปกติ สัปดาห์ที่ 4 วันที่ 12-18 ก.พ. 66